

# Сравнение методов ANN (LoRANN, IVF-PQ, ScaNN) на датасете GloVe

- Николай Слободчук,
- Александр Гаврись,
- Вадим Смирнов,
- Андрей Юганов.

# Мотивация: Approximate Nearest Neighbors (ANN)

**Задача.** Для запроса  $q \in \mathbb{R}^d$  найти ближайшие векторы в базе  $X = \{x_i\}_{i=1}^N$ .

**Почему точный поиск не подходит.**

- ▶ Современные базы:  $N \gg 10^6$ , размерность  $d = 100\text{--}1000$ .
- ▶ Точный kNN:  $O(N \cdot d)$  операций на запрос.
- ▶ Слишком медленно для real-time сценариев.

**Идея ANN (INN).**

- ▶ Допускаем небольшую аппроксимацию.
- ▶ Получаем ускорение в разы/десятки раз.

**Основные подходы ANN.**

- ▶ Графовые методы (HNSW).
- ▶ Деревья / partition-based методы.
- ▶ Кластеризация и индексы: IVF.

**В этой работе.**

- ▶ LoRANN метод: Сравнение с методом IVF-PQ и ScaNN .

## IVF-PQ: идея метода

**Задача ANN.** Для запроса  $q \in \mathbb{R}^d$  найти ближайшие векторы в большой базе  $X = \{x_i\}_{i=1}^N$ .

**Нормировка.** Векторы базы и запросы приводятся к единичной длине:

$$\tilde{x} = \frac{x}{\|x\|_2}, \quad \tilde{q} = \frac{q}{\|q\|_2}.$$

В этом случае евклидово расстояние эквивалентно косинусной близости.

### Основная идея IVF-PQ

- ▶ **IVF (Inverted File):** разбиваем базу на кластеры и ищем только в нескольких подходящих.
- ▶ **PQ (Product Quantization):** храним векторы в сжатом виде, чтобы быстро считать приближённые расстояния.

**Цель:** сократить число проверяемых векторов и ускорить поиск при допустимой потере точности.

## IVF-PQ: алгоритм поиска

### **fit**

- ▶ База разбивается на  $L = n_{list}$  кластеров (k-means).
- ▶ Каждый вектор сохраняется в своём кластере — **inverted list**.
- ▶ Векторы внутри кластеров сжимаются с помощью Product Quantization.

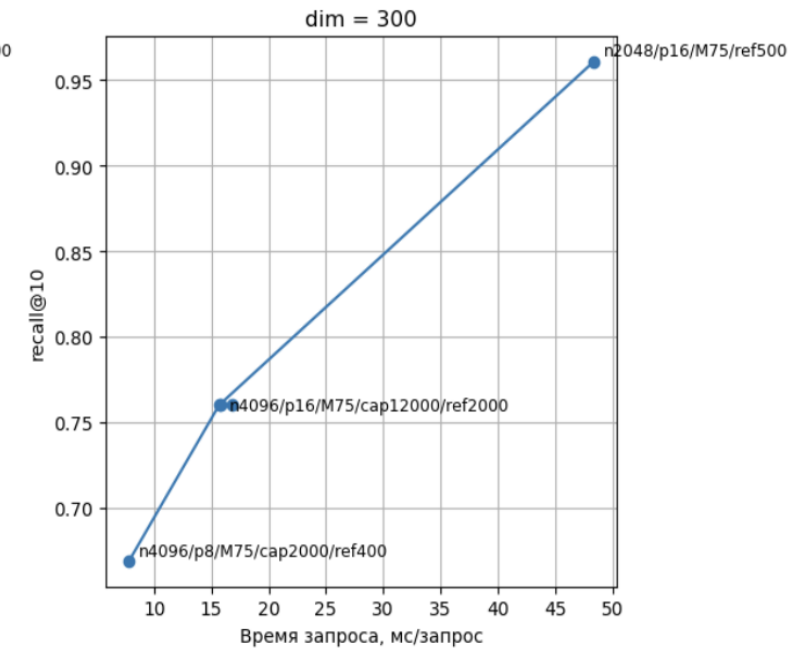
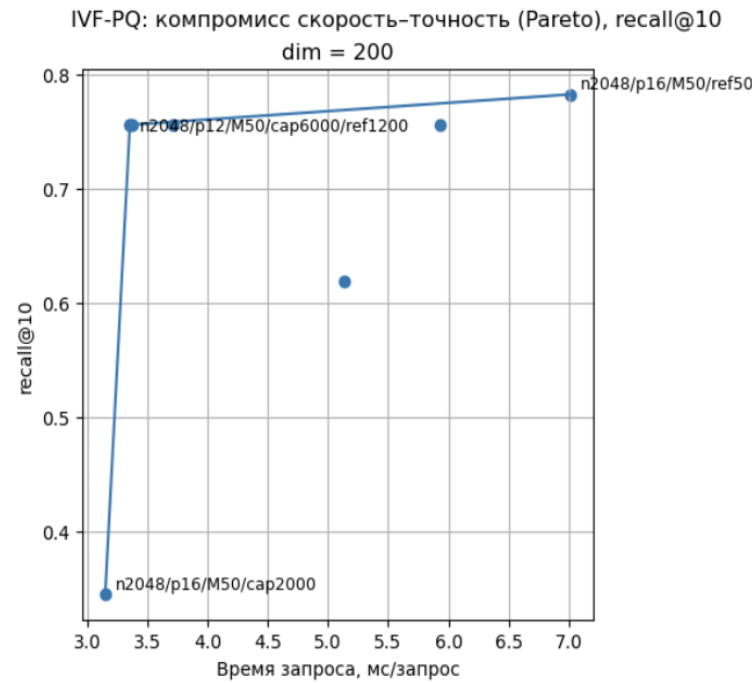
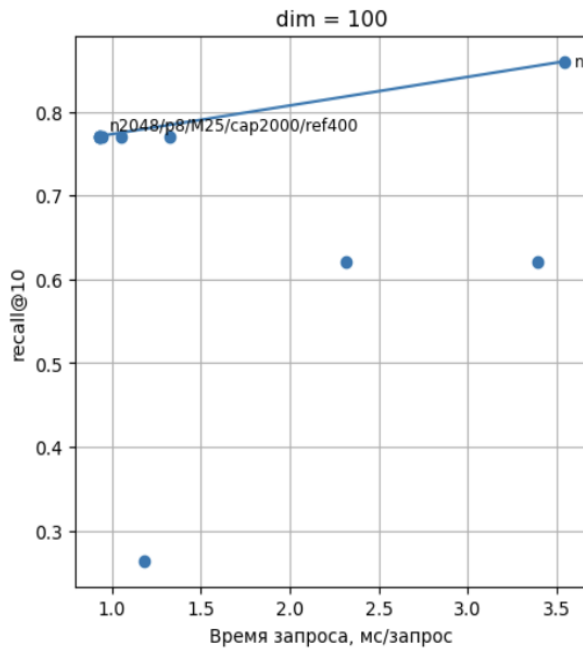
### **Поиск (search)**

- ▶ Для запроса  $q$  выбираются  $P = n_{probe}$  ближайших кластеров:

$$\mathcal{P}(q) = \text{Top-}P\{\|\tilde{q} - c_\ell\|_2\}.$$

- ▶ Поиск выполняется только внутри выбранных inverted lists.
- ▶ Расстояния считаются приближённо по PQ, затем выбираются top- $k$  ближайших кандидатов.

**Ключевые параметры:**  $n_{list}$  (разбиение базы),  $n_{probe}$  (ширина поиска),  $M$  (степень сжатия PQ).



► Чёткий компромисс скорость–точность (Pareto).

Для каждой размерности видно, что увеличение времени запроса приводит к росту recall@10 — ожидаемое поведение классического ANN-метода.

► Хорошая работа при малой и средней размерности.

При  $d = 100$  и  $d = 200$  IVF-PQ достигает  $\text{recall}@10 \approx 0.75\text{--}0.8$  при времени запроса порядка 1–5 мс, что приемлемо для real-time приложений.

► Слабая масштабируемость по размерности.

При  $d = 300$  время запроса резко возрастает (до десятков миллисекунд), даже при умеренных значениях точности.

# LoRANN: идея метода (ANN по косинусной близости)

**1. Нормировка.** Приводим векторы базы и запросы к единичной длине.

**2. IVF-разбиение.** Делим базу на  $L$  кластеров (`n_clusters`); центроиды  $c_\ell$ .

**3. Маршрутизация запроса.** Сканируем  $P$  кластеров (`n_probe`) с максимальным  $\tilde{q}^\top c_\ell$ .

**4. Узкое место.** Внутри выбранного кластера  $\ell$  нужно оценить все  $m_\ell$  точек.

$$\tilde{x} = \frac{x}{\|x\|_2}, \quad \tilde{q} = \frac{q}{\|q\|_2}$$

$$L = \text{n\_clusters}, \quad c_\ell \in \mathbb{R}^d$$

$$\mathcal{P}(q) = \text{Top-}P\{\tilde{q}^\top c_\ell\}$$

$$s_\ell(q) = X_\ell \tilde{q} \in \mathbb{R}^{m_\ell}$$

## Ключевая мысль

**LoRANN ускоряет внутрикластерные оценки**, заменяя точное умножение  $m_\ell \times d$  на вычисления в низкоранговом пространстве ранга  $r = \text{rank}$ .

**Ключевые параметры на этапе поиска:** `n_clusters` (размер кластеров), `n_probe` (сколько кластеров сканируем).

# LoRANN: математика и источник ускорения

## Обучение (fit)

- Для каждого кластера  $\ell$  собираем обучающие запросы  $T_\ell$  (параметры: `n_probe_train`, `train_multi_assign`).
- Строим матрицу оценок и находим подпространство ранга  $r = \text{rank}$ :

$$Y_\ell = T_\ell X_\ell^\top \in \mathbb{R}^{n_\ell \times m_\ell},$$

$$Y_\ell \approx U_\ell \Sigma_\ell V_\ell^\top,$$

$$A_\ell = X_\ell^\top V_\ell, \quad B_\ell = V_\ell^\top.$$

## Поиск (search)

- Точно внутри кластера и LoRANN-аппроксимация:

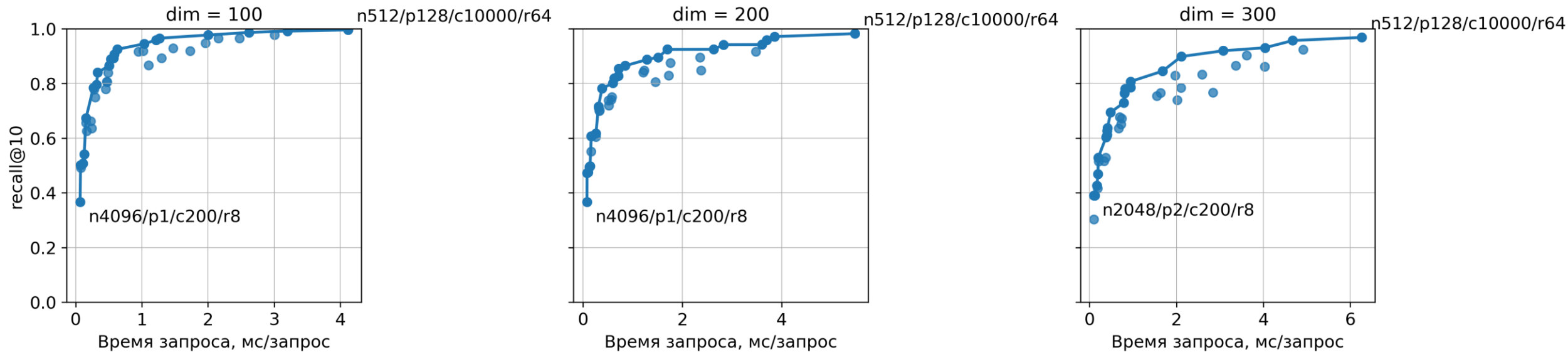
$$s_\ell(q) = X_\ell \tilde{q},$$

$$\hat{s}_\ell(q) = V_\ell V_\ell^\top s_\ell(q) = (\tilde{q}^\top A_\ell) B_\ell.$$

- Ускорение внутри кластера:  
 $O(d m_\ell) \rightarrow O(d r + r m_\ell), \quad r \ll d.$
- Shortlist и rerank: берём top- $C$  кандидатов ( $C = \text{candidate\_count}$ ), затем точный rerank  $\rightarrow$  top- $k$ .

# LoRANN – результаты экспериментов на GloVe

LoRANN: компромисс скорость-точность (Pareto frontier), recall@10



- Наилучшие по точности – комбинации с большим числом кластеров и кластеров-для-поиска, то есть  $n\_clusters \approx 4096\text{--}8192$ ,  $n\_probe \approx 128\text{--}256$ ,  $candidate\_count \geq 5000$ ,  $rank \geq 64$ . Эти параметры давали  $recall@10 \approx 0.97\text{--}0.99$ , но время запроса увеличивалось до 5–6 мс/запрос.
- Самые быстрые, но с наихудшей точностью –  $n\_clusters \approx 1024\text{--}2048$ ,  $n\_probe = 1\text{--}2$ ,  $candidate\_count \leq 200$ ,  $rank = 8$ . При таких настройках  $recall@10$  падал до 0.35–0.55, зато время запроса было < 0.5 мс/запрос.
- Оптимальные (на Парето-границе) — конфигурации вроде  $n\_clusters \approx 4096$ ,  $n\_probe \approx 32\text{--}64$ ,  $candidate\_count \approx 1000\text{--}2000$ ,  $rank = 16\text{--}32$ . Они обеспечивали  $recall@10 \approx 0.9\text{--}0.95$  при 1–2 мс/запрос, давая наилучший баланс точности и скорости.
- Разница между датасетами по размерности эмбеддингов (100 / 200 / 300): при росте размерности растёт время запроса и падает  $recall$ .

# Что такое ScaNN и его особенности

ScaNN (Guo et al., 2020) — двухэтапный ANN/MIPS-поиск, заточенный под cosine/inner product в больших коллекциях.

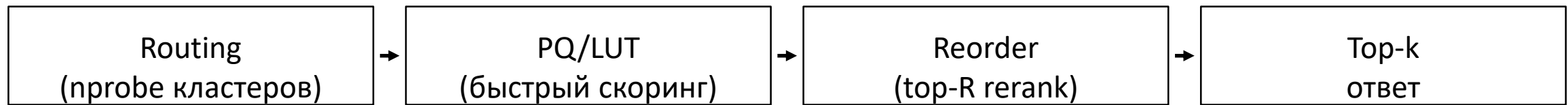
- 1) Routing (partitioning): быстрый выбор подмножества кандидатов через coarse-векторную квантизацию/дерево.
- 2) Fast scoring: база хранится в PQ-кодах, запрос остаётся в float;  $\langle q, x \rangle$  оценивается через LUT (ADC).
- 3) Reorder: точный пересчёт dot product на shortlist повышает точность при контролируемом времени.

Ключевая особенность: score-aware (anisotropic) quantization — оптимизация ошибки скоринга, сильнее штрафуется компонент ошибки вдоль направления  $x$ .

Память: при  $K_s \leq 256$  используется 1 байт на подпространство  $\Rightarrow M$  байт/вектор (+ coarse-структура).

# ScANN: пайплайн поиска

- Цель: top-k по cosine (эквивалентно dot product на L2-нормированных векторах)
- 1) Routing: coarse-кластеризация ограничивает число кандидатов
- 2) Fast scoring: PQ + LUT приближает  $\langle q, x \rangle$
- 3) Reorder: точный rerank на shortlist (пересчёт dot product)



Идея: меньше кандидатов + дешевле scoring  $\Rightarrow$  выше QPS при приемлемом recall

# Линейная алгебра в ScANN: anisotropic VQ

- Для MIPS важна ошибка вдоль направления  $x$ : она напрямую влияет на  $\langle q, x \rangle$
- ScANN оптимизирует score-aware loss: сильнее штрафует «параллельную» компоненту ошибки
- Обновление центроида сводится к решению малой СЛАУ ( $d \times d$ ) на каждом

Loss (упрощённо):  $\|x - c\|^2 + (\gamma-1) \cdot ((\|x\|^2 - \langle x, c \rangle)^2 / \|x\|^2)$

Центроид (фикс. разбиение  $S$ ):

$$(|S|I + (\gamma-1) \cdot \sum_{x \in S} (xx^\top / \|x\|^2)) \cdot c = \gamma \cdot \sum_{x \in S} x$$

$\Rightarrow c = A^{-1} b$  (решаем через `solve`;  $A$  – сумма ранга-1 матриц)

# Гиперпараметры ScANN (что влияет на качество/скорость)

## Routing (кандидаты)

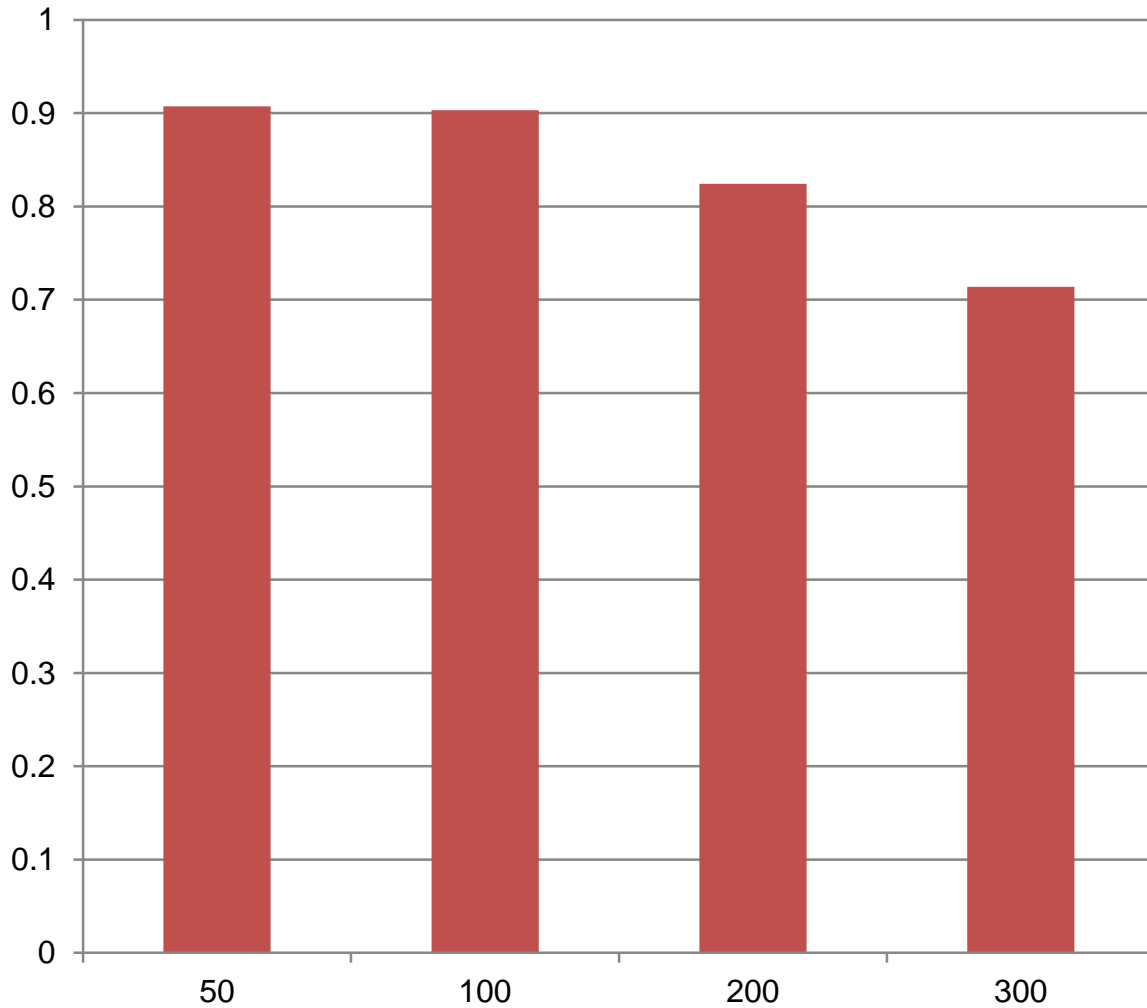
- nlist: число coarse-кластеров
- nprobe: сколько кластеров просматриваем
- candidate\_count: кандидаты до PQ/LUT

## Quantization + reorder

- M (n\_subspaces): число подпространств PQ
- Ks (n\_codewords): словарь в каждом подпространстве
- $\gamma$ : степень анизотропии ( $\gamma=1 \rightarrow$  обычный PQ)

Grid search (в ноутбуке): перебираем nlist/nprobe, Ks/M/ $\gamma$ , candidate\_count, reorder\_k.  
Данные: общий pipeline 0\_data → одинаковые train/test queries и gt\_test для 50/100/200/300.  
Метрики: Recall@K + время (fit, search, ms/query).

# ScaNN: лучший Recall@10 по размерности



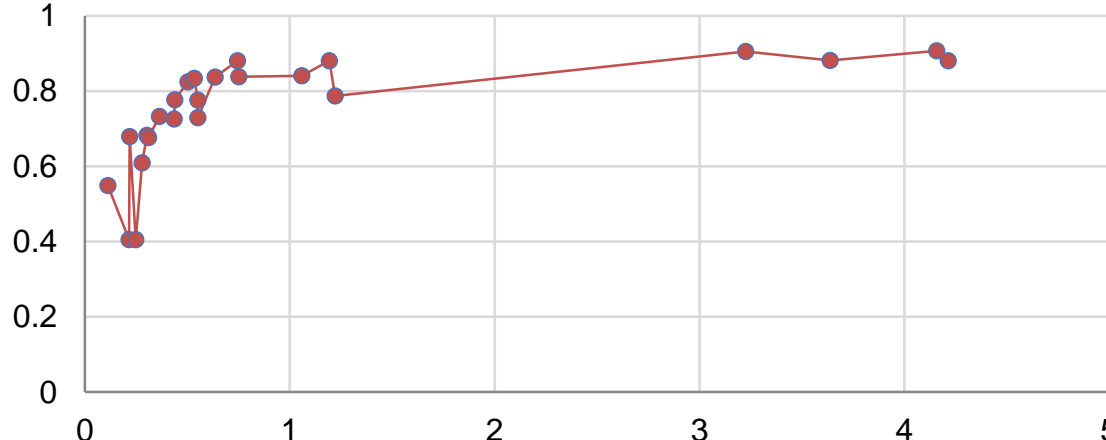
Лучшая конфигурация (по Recall@10)

d	nlist	nprobe	Ks	M	$\gamma$	cand	reord
50	512	32	64	20	1.1	20000	10000
100	512	32	64	20	1.1	20000	10000
200	1024	32	64	10	1.0	20000	10000
300	1024	32	64	10	1.0	20000	10000

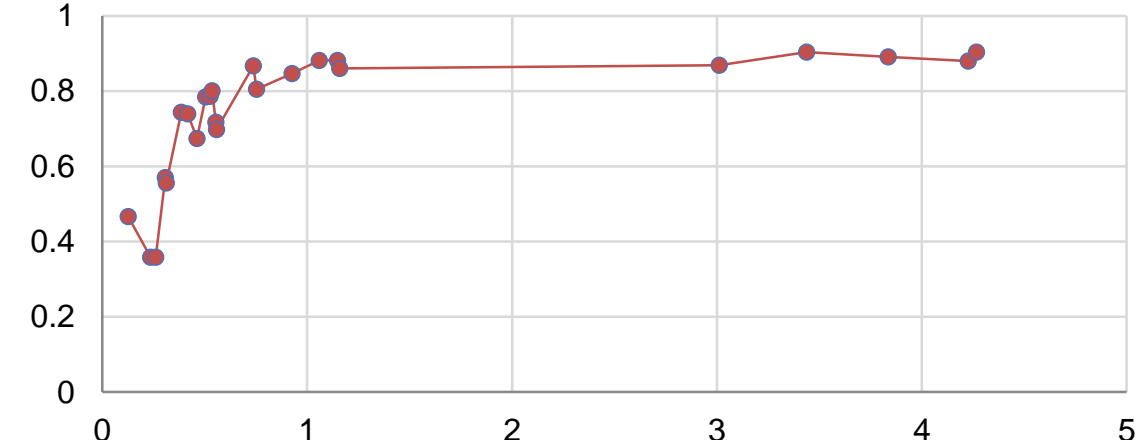
Замеры: Recall@10 на тестовых запросах (общий датасетный pipeline).

# ScaNN: качество vs время поиска (ms/query)

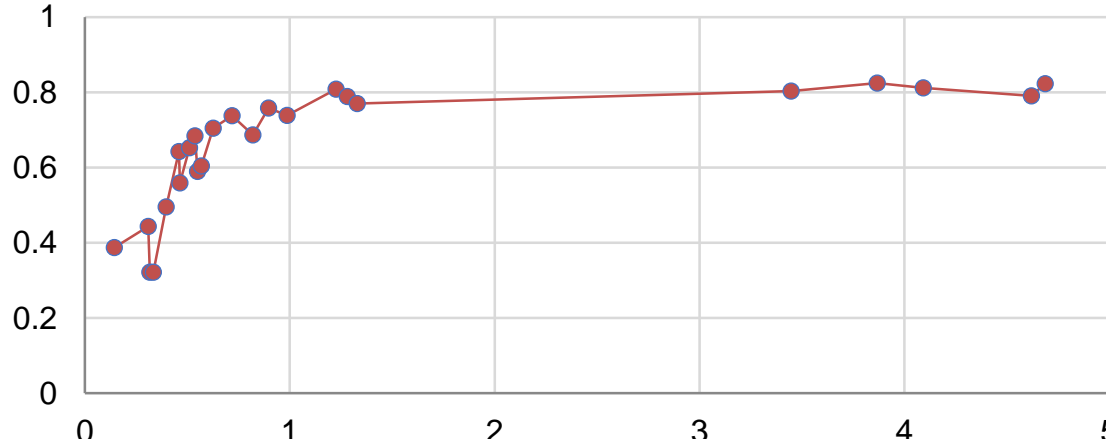
d=50



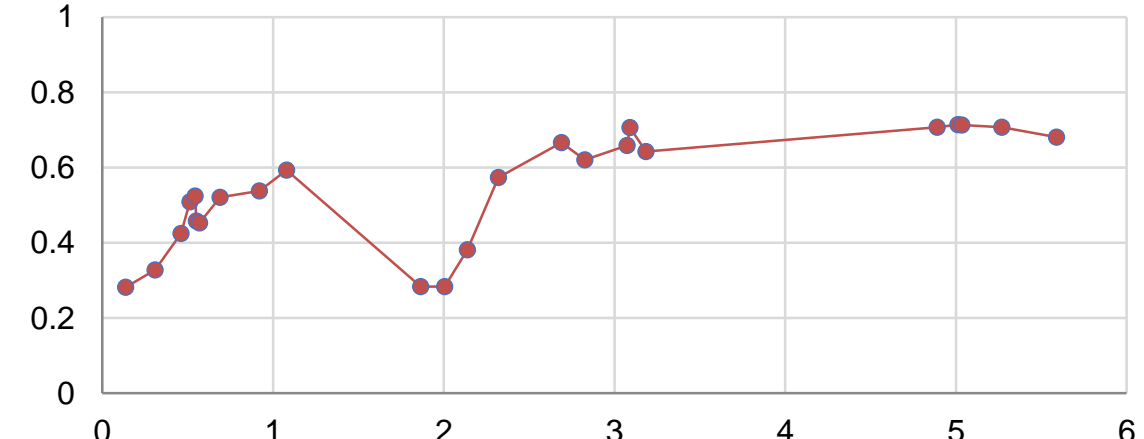
d=100



d=200



d=300



# Заключение

## IVF-PQ.

- ▶ Классический ANN-метод с понятным компромиссом скорость–точность.
- ▶ Хорошо работает при малой и средней размерности ( $d = 100, 200$ ).
- ▶ Плохо масштабируется по размерности: при  $d = 300$  время запроса резко возрастает.

## ScaNN.

- ▶ Современный двухэтапный ANN/MIPS-метод с score-aware квантованием.
- ▶ В наших экспериментах показал более низкий recall@10 при сопоставимом или большем времени поиска.
- ▶ Чувствителен к настройкам и структуре датасета.

## LoRANN (основной вклад работы).

- ▶ Развивает идею IVF, ускоряя *внутрикластерный поиск*.
- ▶ Заменяет полное скалярное произведение на вычисления в низкоранговом подпространстве.
- ▶ Демонстрирует лучший Pareto-компромисс скорость–точность на всех размерностях.

## Основные ссылки:

github: <https://github.com/nslobodchuk/ann-nla-project/tree/main>

Jääsaari A., Oksanen J., Silven O. (2024).

LoRANN: Low-Rank Matrix Factorization for Approximate Nearest Neighbor Search}.

arXiv:2410.18926. <https://arxiv.org/abs/2410.18926>

Jégou H., Douze M., Schmid C. (2011).

Product Quantization for Nearest Neighbor Search}.

IEEE Transactions on Pattern Analysis and Machine Intelligence (TPAMI).

<https://ieeexplore.ieee.org/document/5432202/>

Guo R., Sun P., Lindgren E.,

Accelerating Large-Scale Inference with Anisotropic Vector Quantization}.

arXiv:1908.10396. <https://arxiv.org/abs/1908.10396>